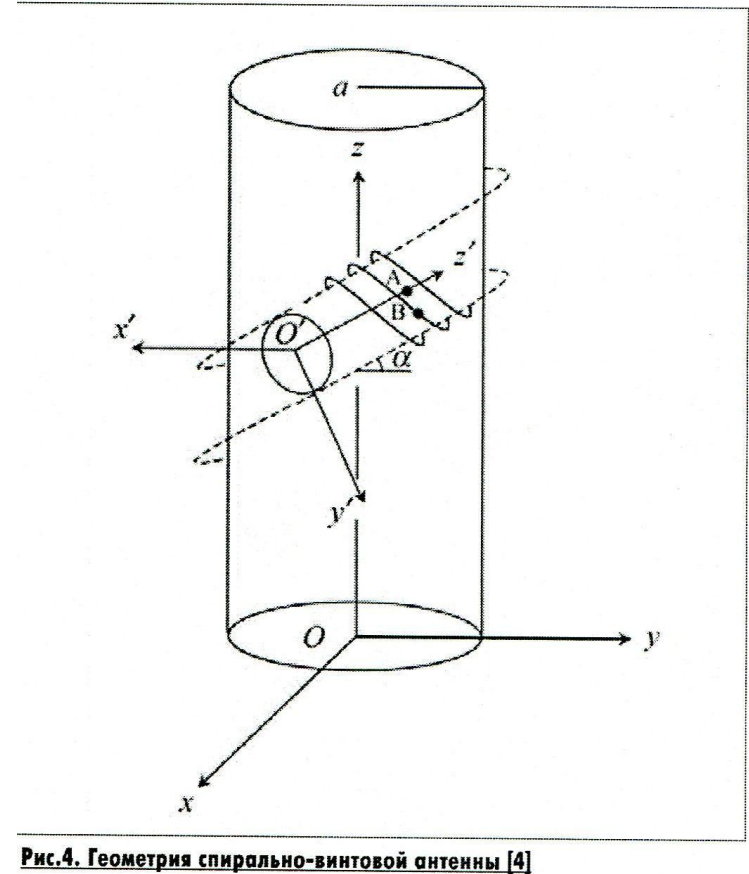
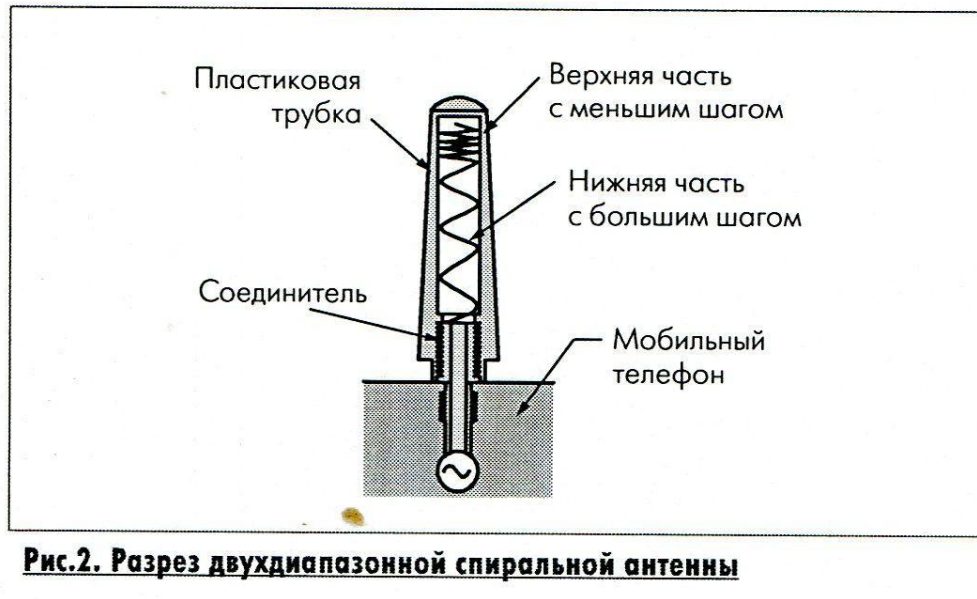
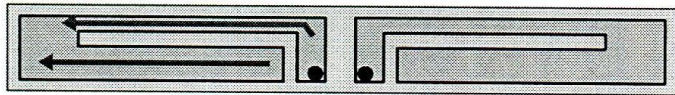
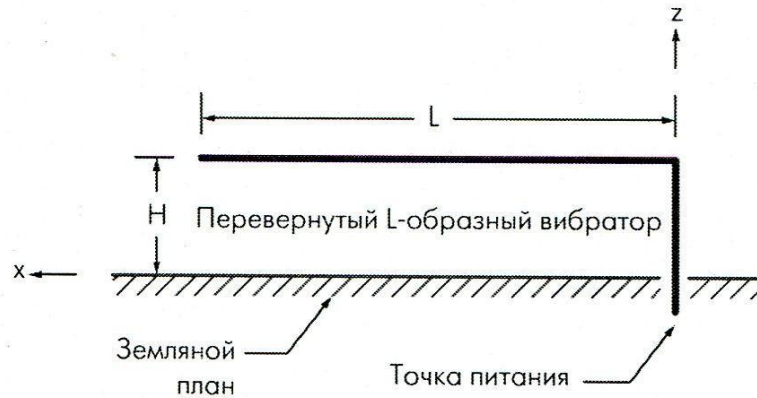


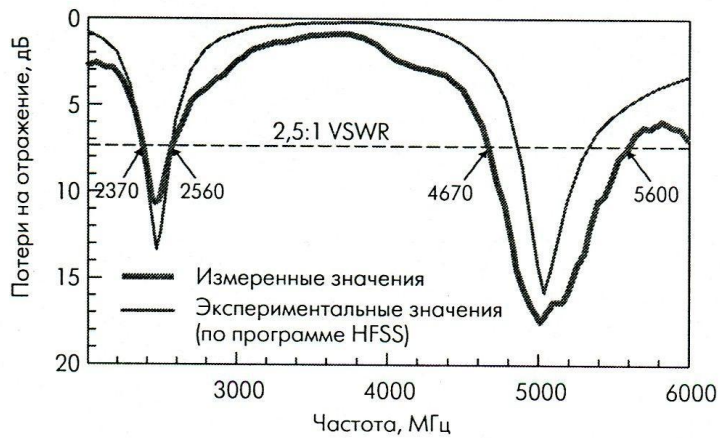
Варианты спиральных двухдиапазонных антенн.



Инверсная L-образная антенна (ILA- inverted L-antenna).



а)



б)

№	Внешний вид антенны	Коэффициент усиления, дБи	
		2,4 ГГц	5,2 ГГц
1		4,3	3,9
2		4,7	3,8
3		4,2	2,4
4		4,2	3,6
5		2,7	4,9
6		5,8	
7			5,1

Инверсная F-образная антенна (IFA- inverted F-antenna).

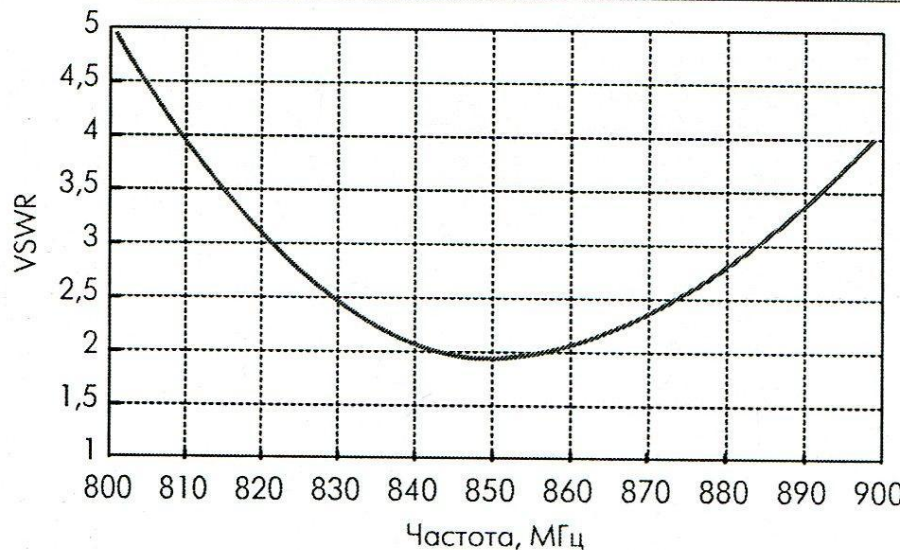
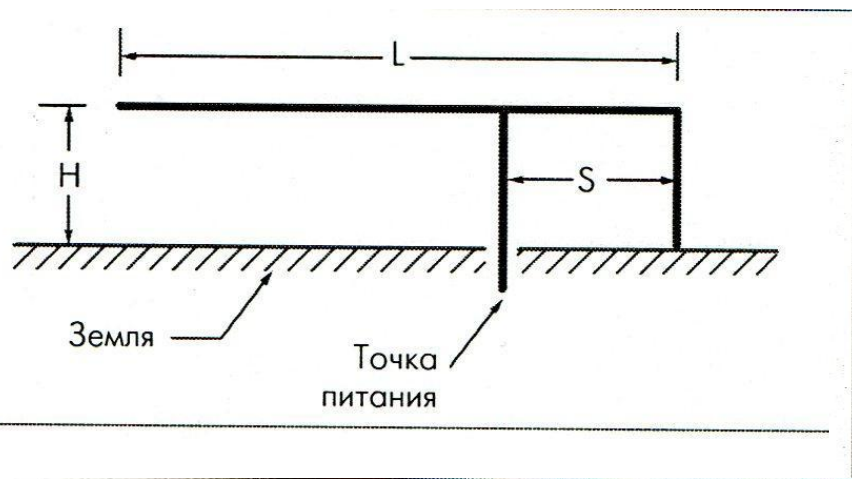


Рис.9. Зависимость коэффициента стоячей волны (VSWR) от частоты типичной IFA [5]. Габариты антенны: $H = 2,28$ см, $L = 7,2$ см, радиус проводника $0,15$ см. Расстояние между вертикальными секциями $\delta = 0,68$ м (не намного больше $4,5$ радиусов проводника)

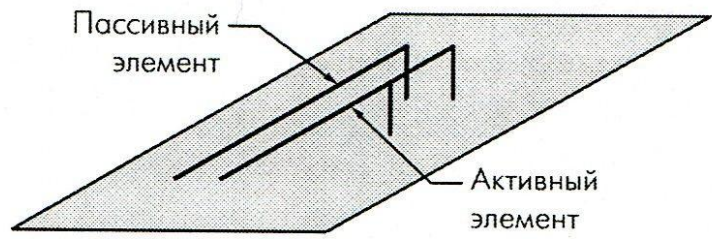
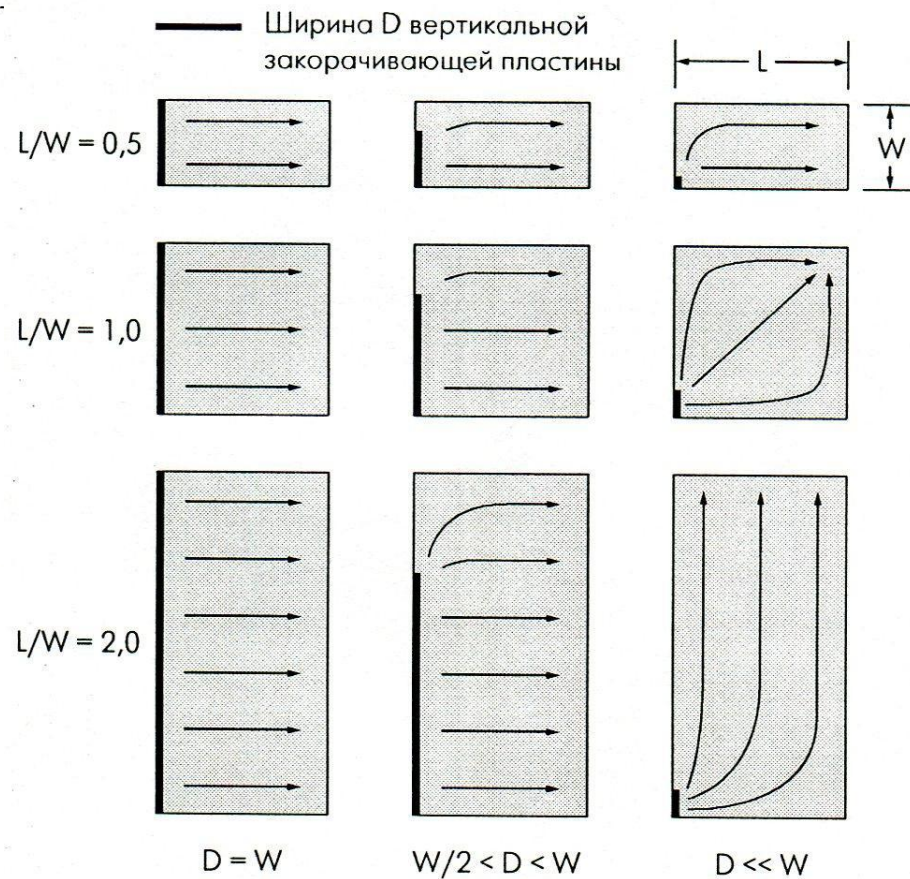
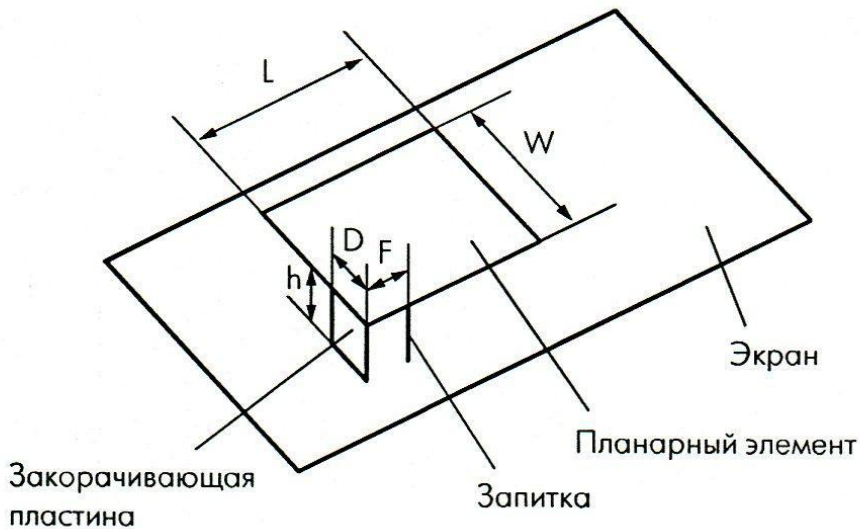


Рис.12. Двойная перевернутая F-антенна (DIFA)

Планарная инверсная F-образная антенна (PIFA-planar inverted F-antenna)



Вариант подстройки резонансной частоты RIFA

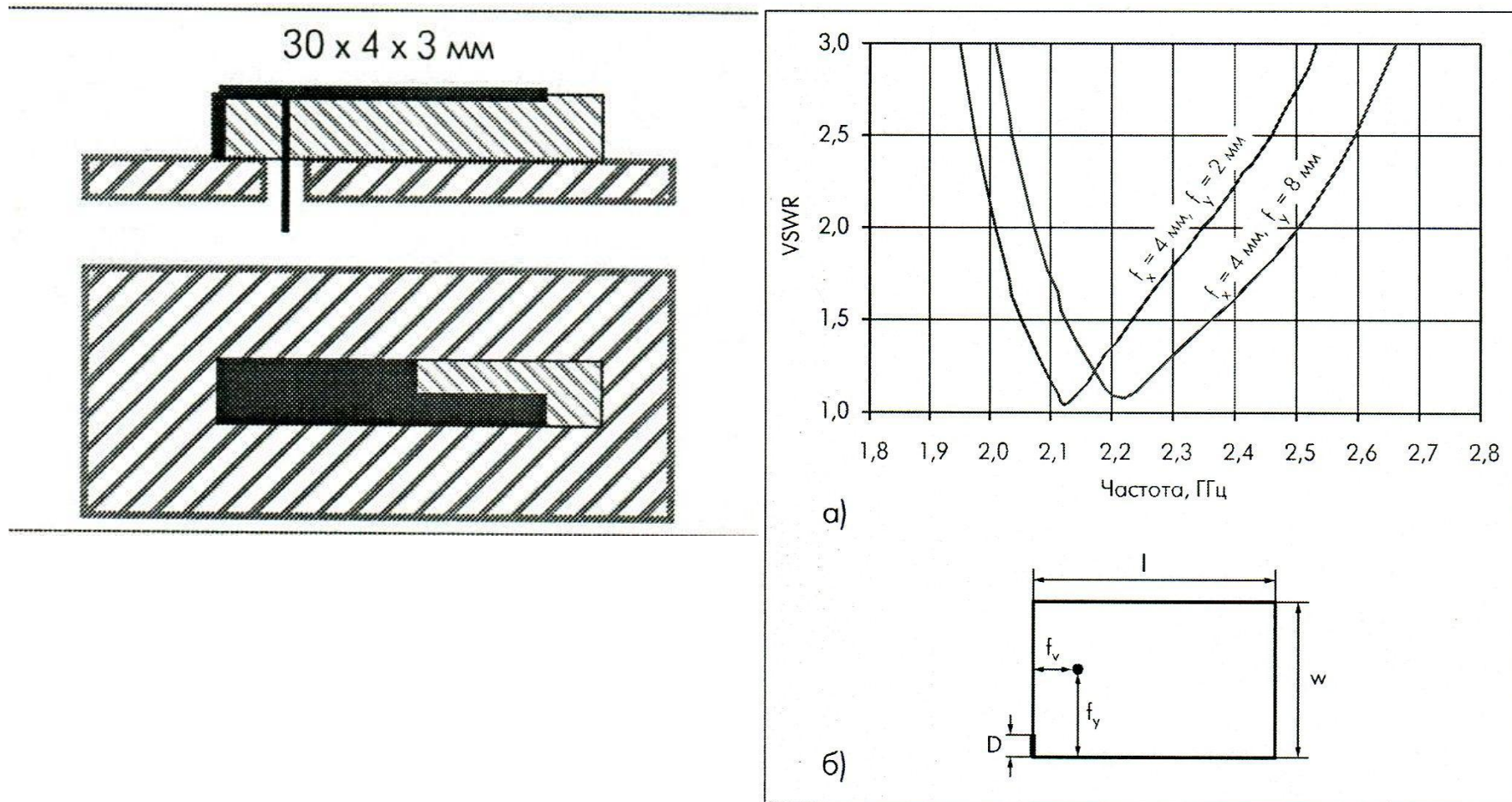


Рис.5. Частотные характеристики RIFA в зависимости от относительных координат фидерного контакта (а) и система координат, используемая для указания местоположения фидерного контакта (б)

Варианты расширения полосы пропускания RIFA.

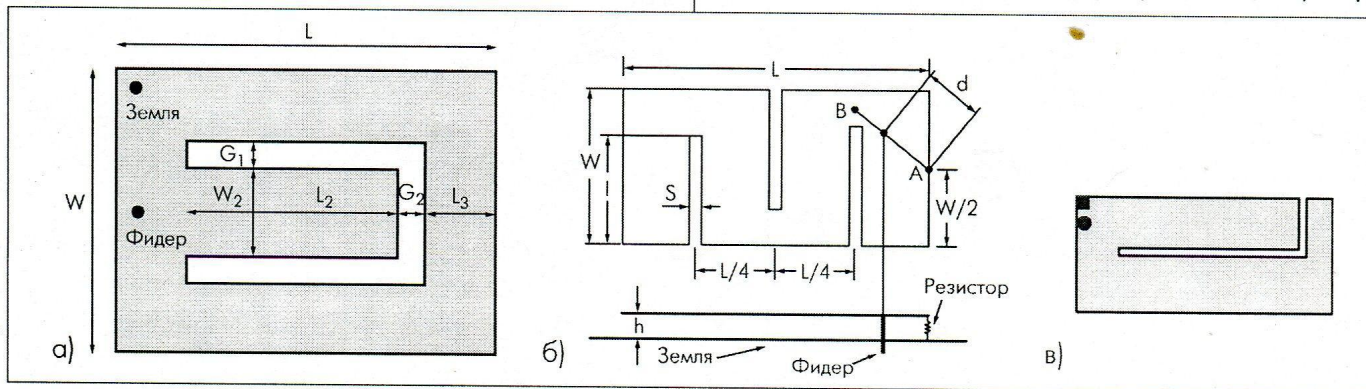
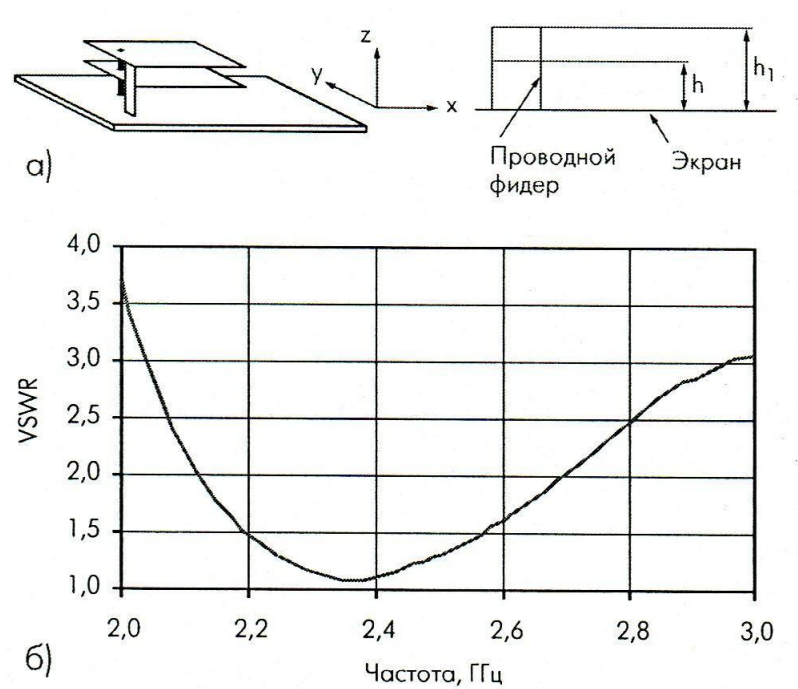
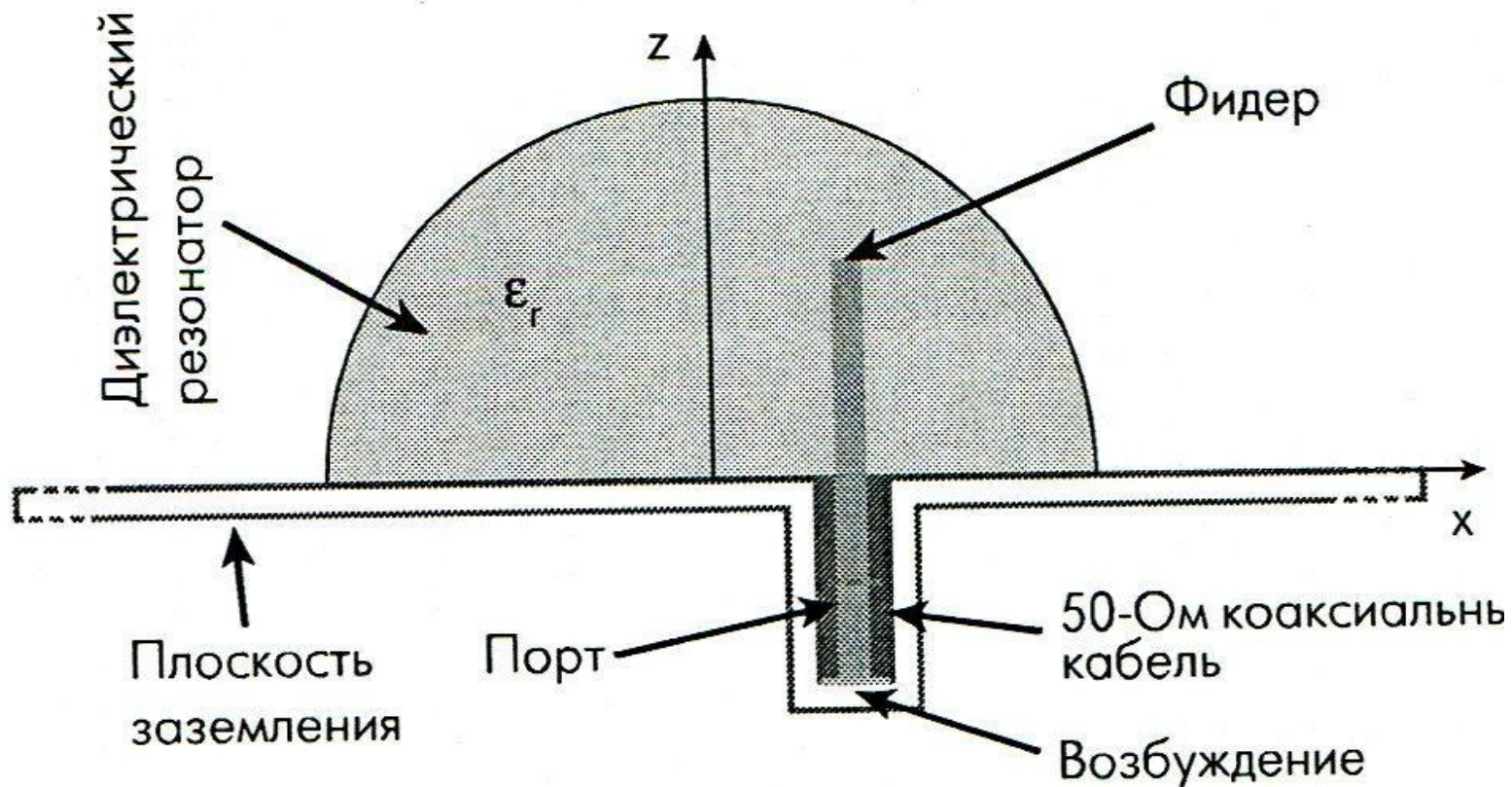
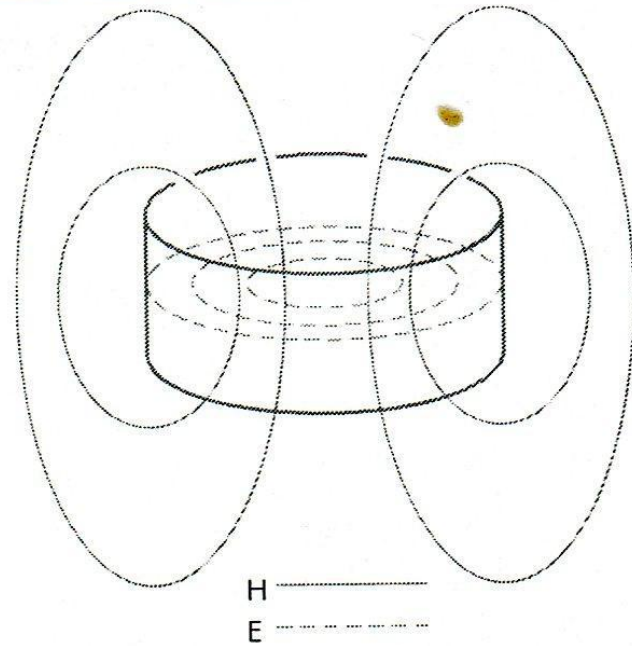
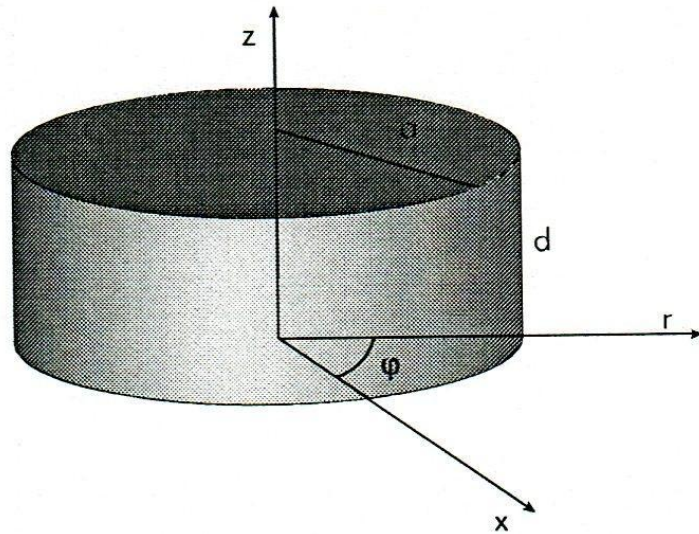


Рис. 16. Варианты расширения полосы пропускания RIFA за счет создания различных прорезей: U-образной (а), меандр (б), L-образной (в)

Диэлектрические резонаторные антенны (DRA-dielectric resonator antenna).

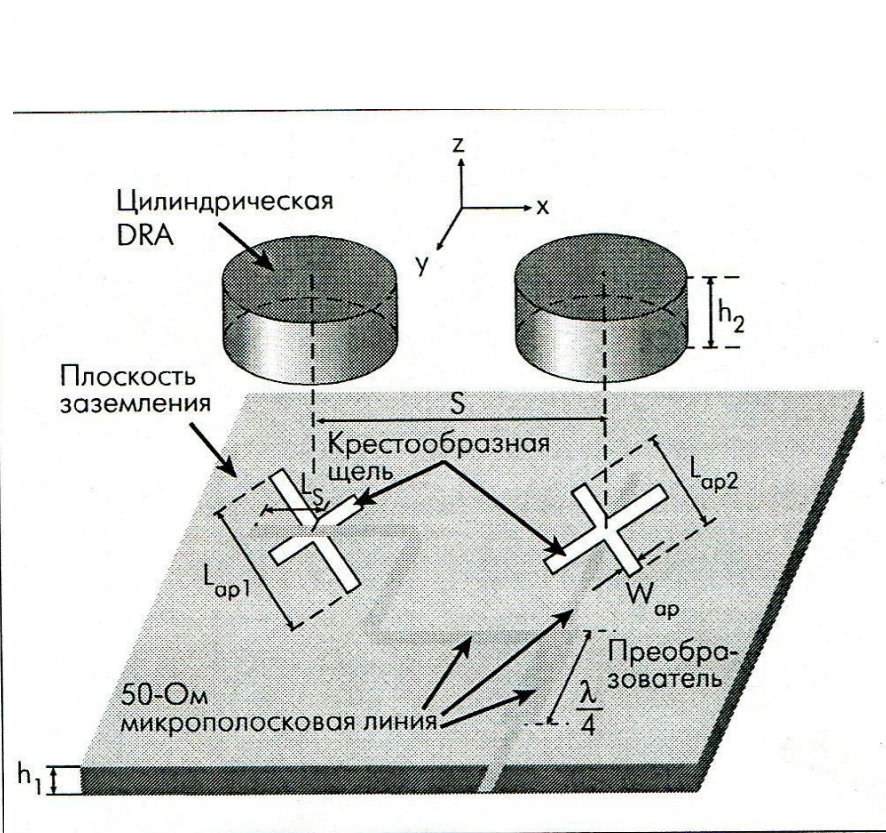
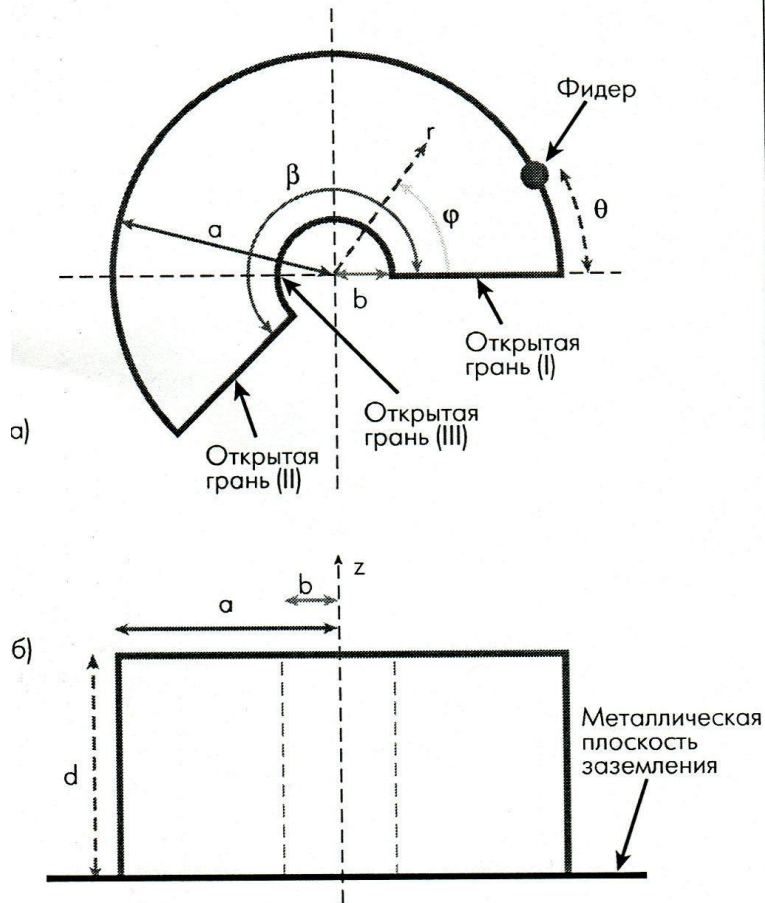


Антенна на основе цилиндрического резонатора.



Структура волны типа $TE_{01\delta}$

Варианты практической реализации DRA.



Фрактальные антенны

